Fig 3.9: Pocket Dosimeter



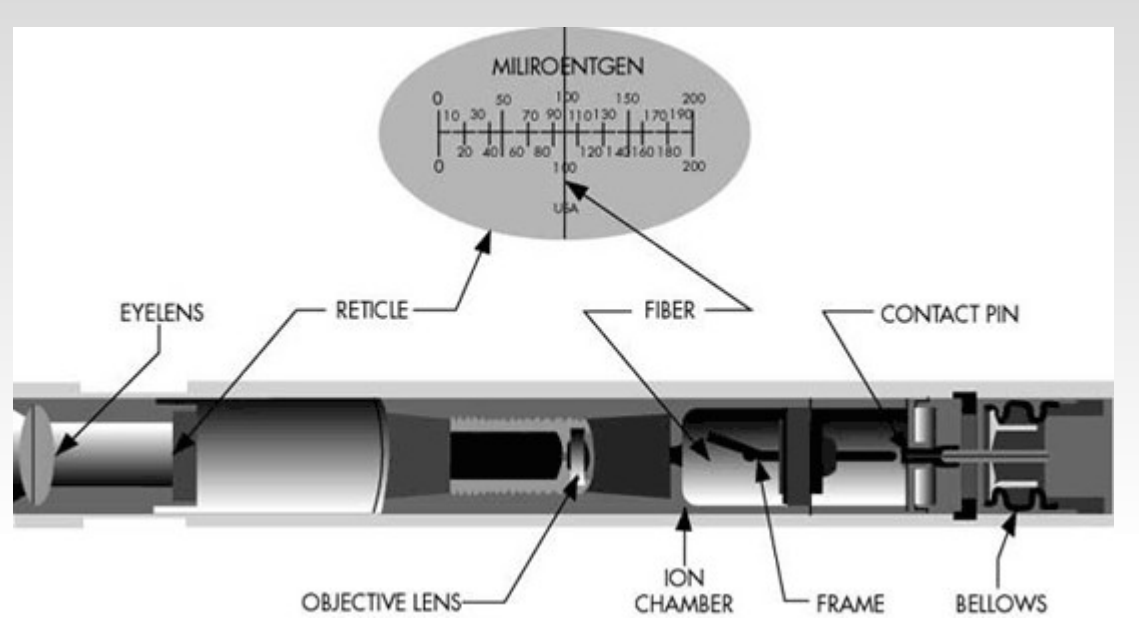
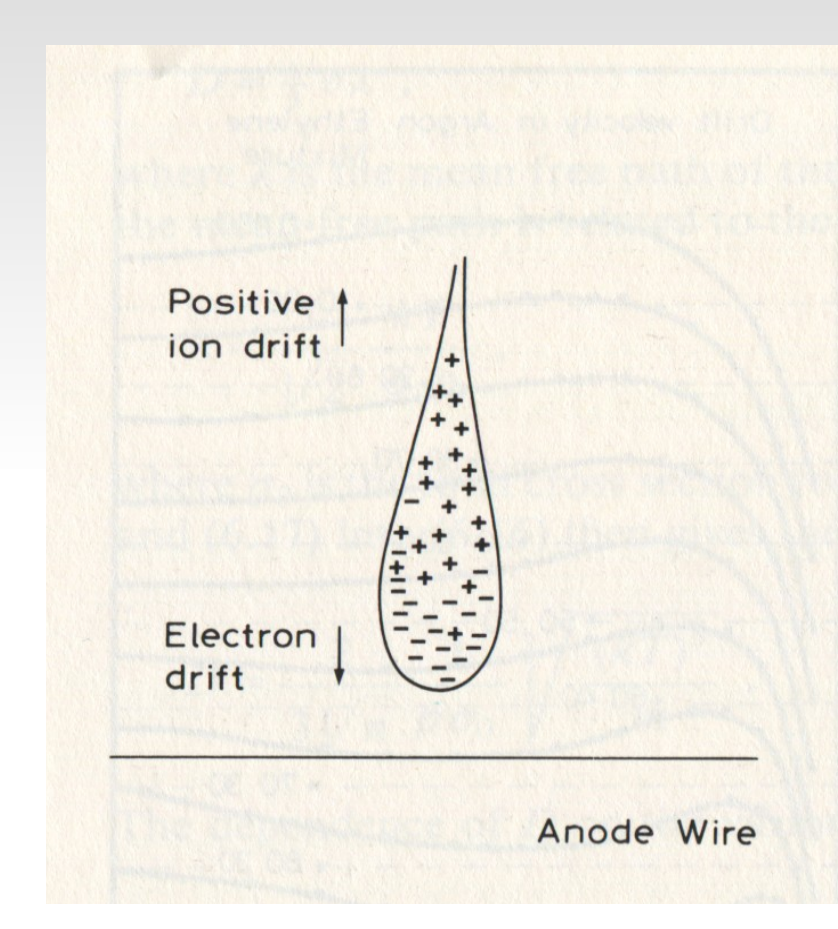


Fig 3.10: Townsend-Lawine



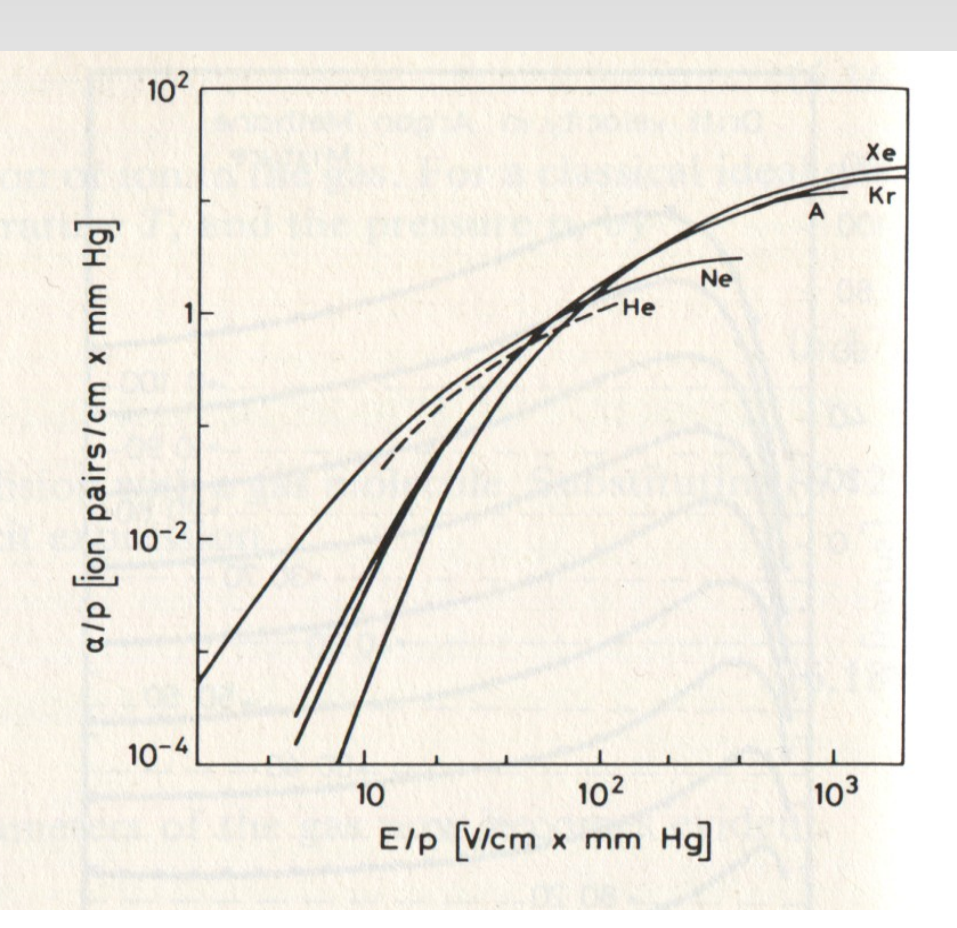


Fig 3.11: Townsend-Koeff. für Ar-Mischungen

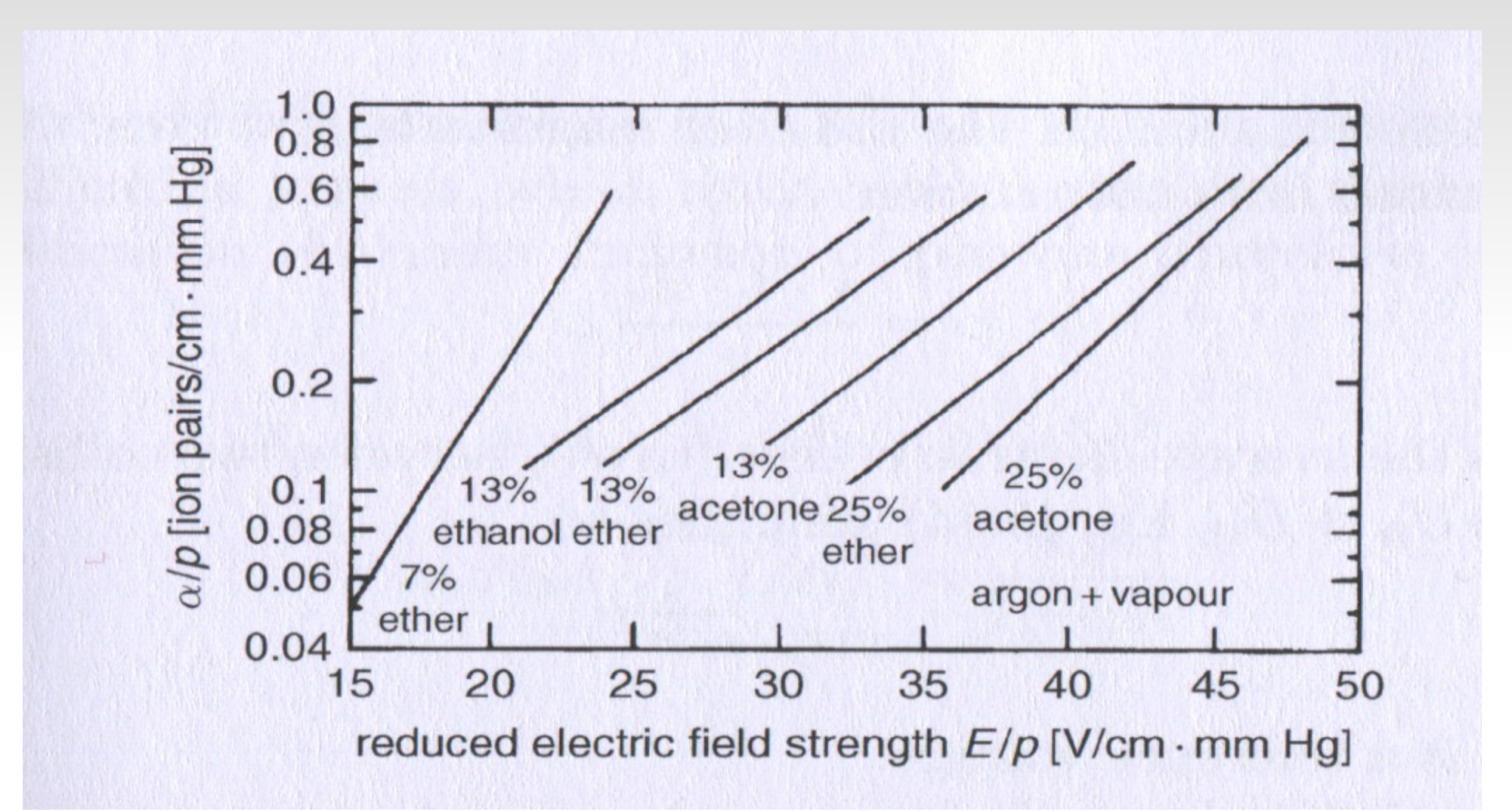
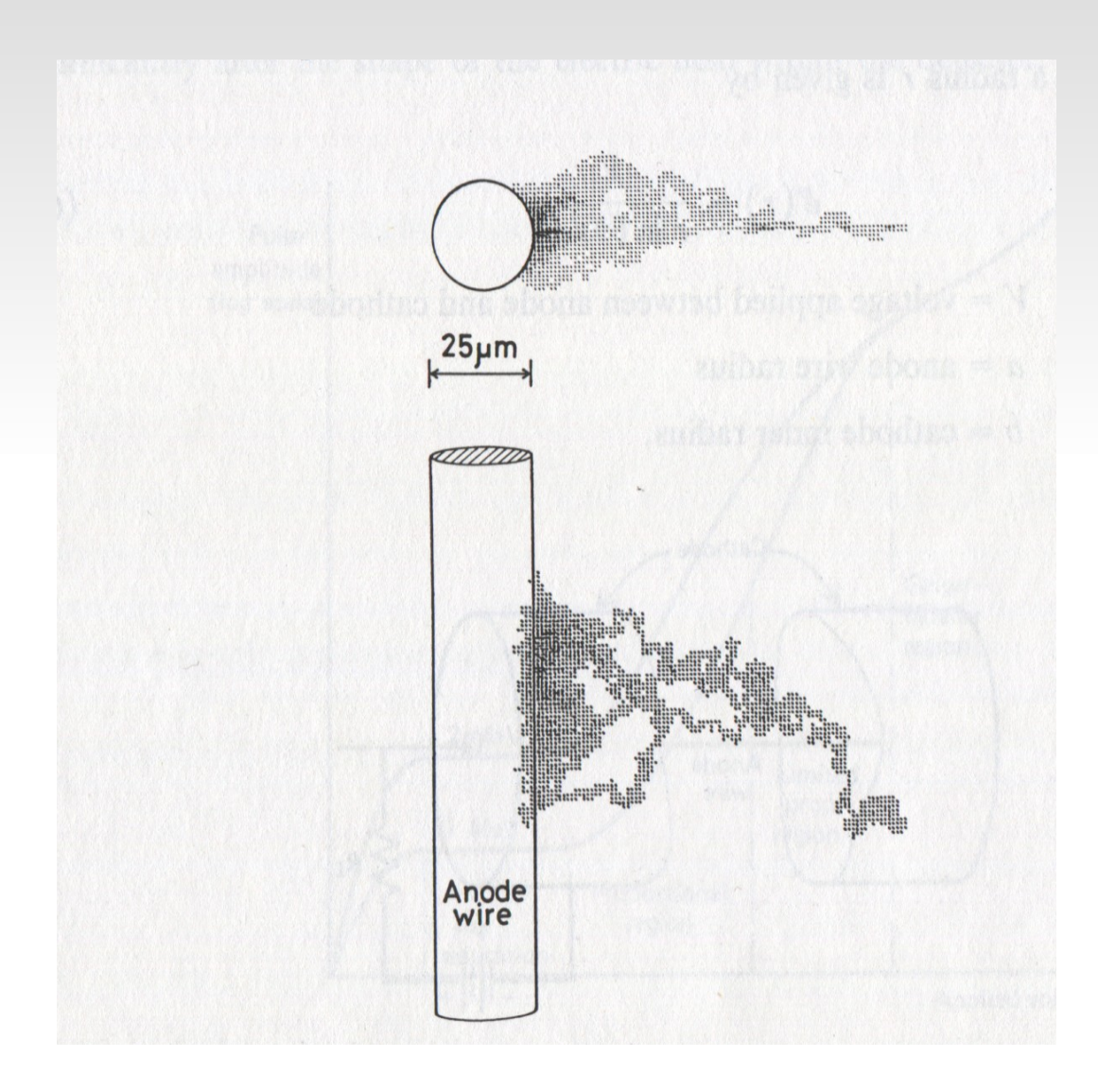
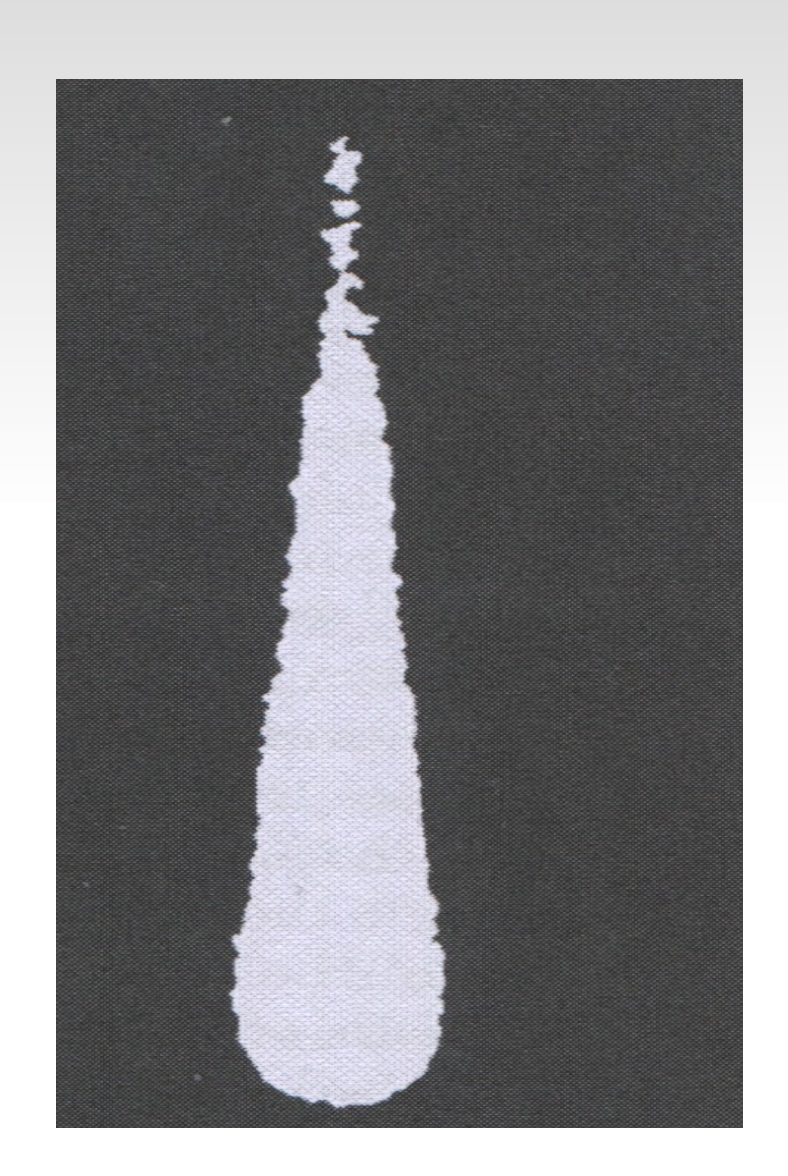


Fig 3.12: Lawinenbildung







Blasenkammeraufnahme

Fig 3.13: Messung der Gasverstärkung A in Argon

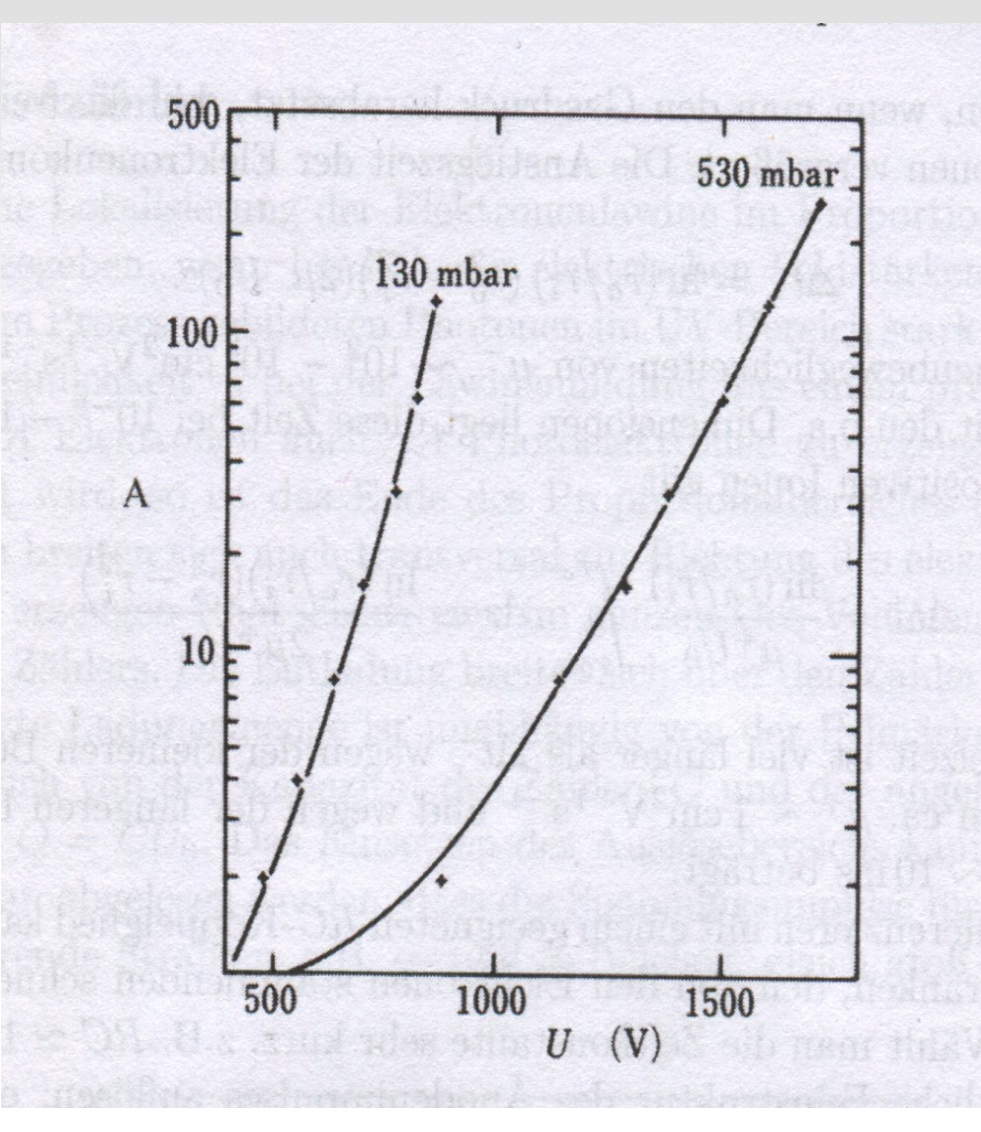


Fig 3.14: Röntgenspektrum des Zerfalls von ²⁴¹Am mit Xe-Proportionalkammer

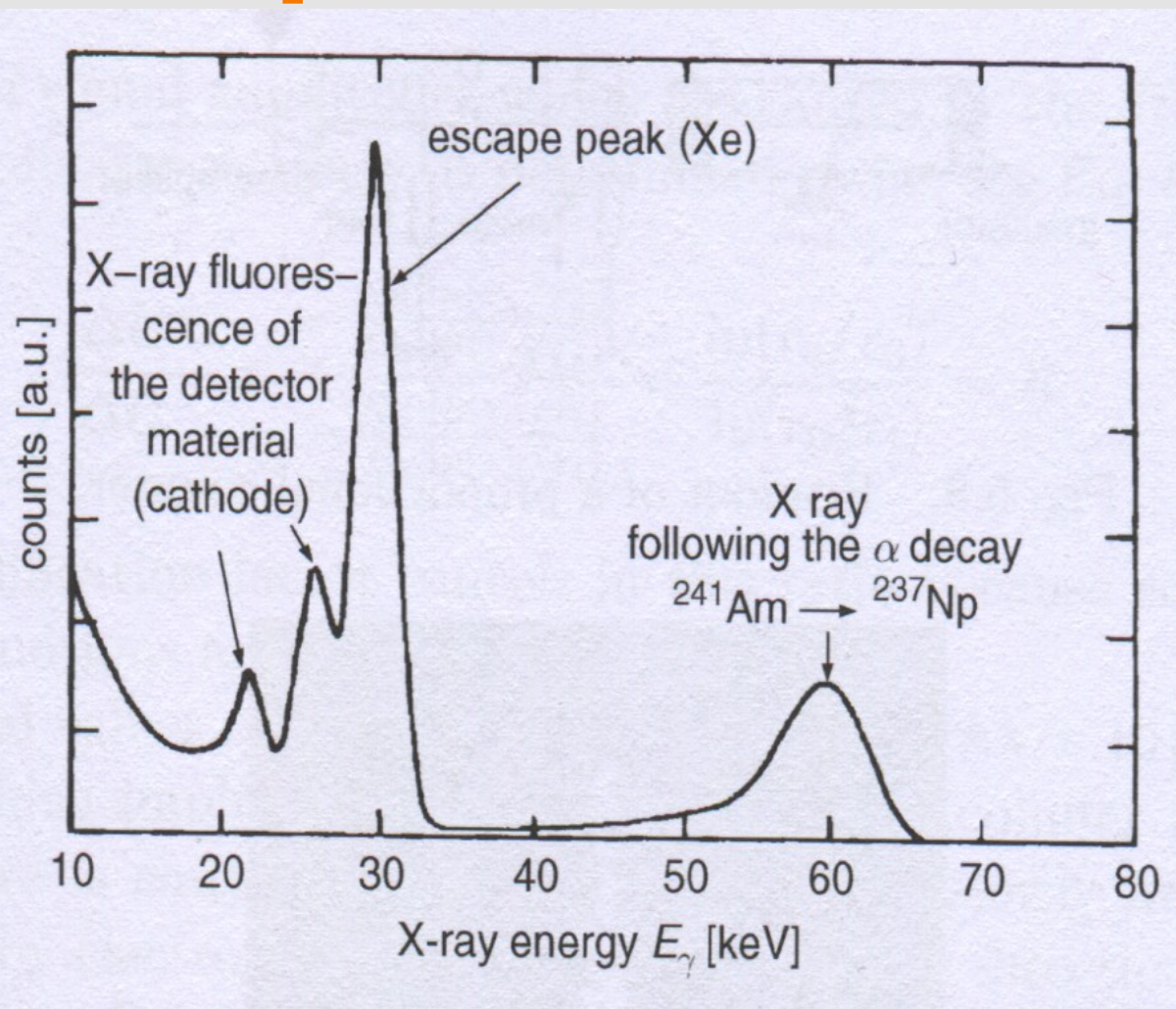


Fig 3.15: Alterungseffekte auf Anodendrähten

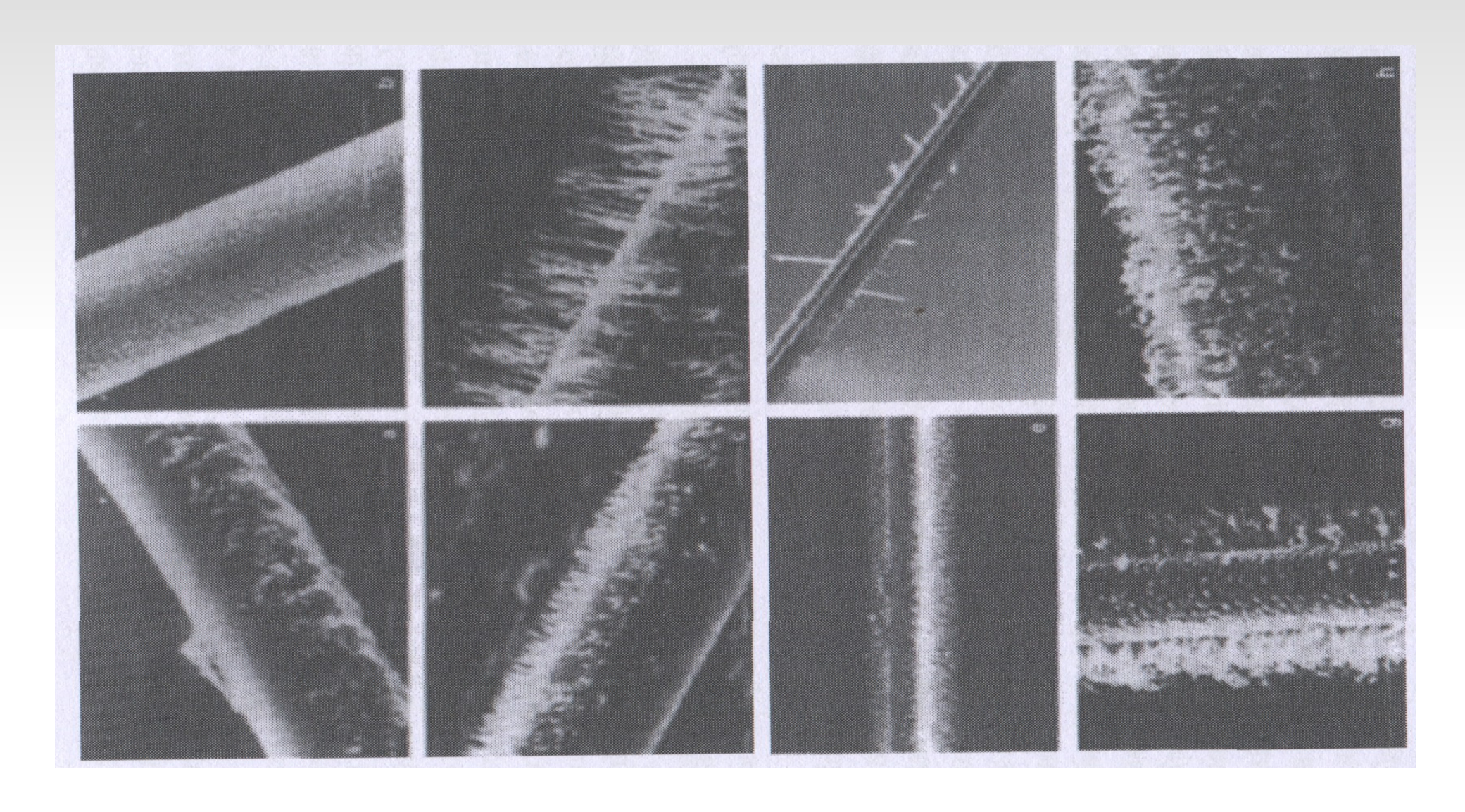


Fig 3.17: Frühe Proportionalkammer (1944)



Trennung von α - (Plutonium) und β -Strahlung